

Н. ВЕКСЛЕР

## ОСЕСИММЕТРИЧНЫЕ НЕСТАЦИОНАРНЫЕ ПРОЦЕССЫ ДЕФОРМАЦИИ ОБОЛОЧЕК ВРАЩЕНИЯ

На основе теории оболочек типа Тимошенко исследуются осесимметричные нестационарные процессы деформации тороидальной и конической оболочек, а также предельных случаев конической оболочки — цилиндрической оболочки и круглой плиты, вызванные резкими динамическими краевыми воздействиями.

1. **Исходные уравнения.** Уравнения движения тороидальной оболочки имеют вид

$$\begin{aligned} (\partial_\alpha^2 + c\partial_\alpha - vd - c^2 - \kappa^2 - \partial_\tau^2)u + \kappa^2\psi + [(1 + vd + \kappa^2)\partial_\alpha + g]\omega &= 0 \\ \kappa^2u + [-\kappa^2 + a^2(\partial_\alpha^2 + c\partial_\alpha - vd - c^2 - \partial_\tau^2)]\psi - \kappa^2\partial_\alpha\omega &= 0 \\ -[(1 + vd + \kappa^2)\partial_\alpha + c(v + d + \kappa^2)]u + \kappa^2(\partial_\alpha + c)\psi + & \\ + [\kappa^2(\partial_\alpha^2 + c\partial_\alpha) - 1 - 2vd - d^2 - \partial_\tau^2]\omega &= 0. \end{aligned} \quad (1.1)$$

Здесь

$$\begin{aligned} c &= \frac{\cos \alpha}{\lambda + \sin \alpha} & d &= \frac{\sin \alpha}{\lambda + \sin \alpha} & g &= \frac{\lambda c}{\lambda + \sin \alpha} \\ a &= \frac{hk_\alpha}{\sqrt{3}} & k_\alpha &= 1 & \tau &= \frac{c_1 t}{A} & \kappa &= \frac{c_2}{c_1} \\ c_1 &= \left[ \frac{E}{\rho(1 - \nu^2)} \right]^{1/2} & c_2 &= \left[ \frac{Ek_T}{2\rho(1 + \nu)} \right]^{1/2}. \end{aligned} \quad (1.2)$$

Тороидальная оболочка образуется при вращении кольца толщиной  $2h$  вокруг оси, отстоящей от центра кольца на расстоянии  $\lambda$ .

В формулах (1.1), (1.2) используются следующие обозначения:  $\alpha$  — координата вдоль дуги меридиана;  $A = k_\alpha = 1$  — параметр Ляме срединной поверхности оболочки вдоль меридиана;  $u, \omega$  — безразмерные (деленные на  $k_\alpha$ ) тангенциальное и нормальное перемещения;  $\psi$  — угол поворота нормали к срединной поверхности оболочки;  $c_1, c_2$  — скорости распространения первого и второго фронтов волн в теории оболочек типа Тимошенко;  $k_T$  — коэффициент сдвига.

Безразмерные усилия и моменты в тороидальной оболочке определим по формулам

$$\begin{aligned} T_\alpha &= (\partial_\alpha + \nu c)u + (1 + vd)\omega & T_\beta &= (\nu\partial_\alpha + c)u + (\nu + d)\omega \\ N_\alpha &= -u + \psi + \partial_\alpha\omega & & \\ M_\alpha &= (\partial_\alpha + \nu c)\psi & M_\beta &= (\nu\partial_\alpha + c)\psi. \end{aligned} \quad (1.3)$$

Уравнения движения конической оболочки представим в виде

$$(\partial_\alpha^2 + b\partial_\alpha - b^2 - \partial_\tau^2)u + (vf\partial_\alpha + bf)w = 0$$

$$[-\kappa^2 + a^2(\partial_\alpha^2 + b\partial_\alpha - b^2 - \partial_\tau^2)]\psi - \kappa^2\partial_\alpha w = 0 \quad (1.4)$$

$$-(vf\partial_\alpha + bf)u + \kappa^2(\partial_\alpha + b)\psi + [\kappa^2(\partial_\alpha^2 + b\partial_\alpha) - b^2 - \partial_\tau^2]w = 0.$$

Здесь

$$b = \frac{\sin \gamma}{\lambda + a \sin \gamma} \quad f = \frac{\cos \gamma}{\lambda + a \sin \gamma} \quad (1.5)$$

$\gamma$  — угол конусности,  $a$  — координата вдоль образующей; остальные обозначения имеют прежний смысл.

Безразмерные усилия и моменты в конической оболочке определим по формулам

$$T_\alpha = (\partial_\alpha + vb)u + vf\psi \quad T_\beta = (v\partial_\alpha + b)u + f\psi \quad (1.6)$$

$$N_\alpha = \psi + \partial_\alpha w$$

$$M_\alpha = (\partial_\alpha + vb)\psi \quad M_\beta = (v\partial_\alpha + b)\psi.$$

При  $\gamma = 0$  коническая оболочка вырождается в цилиндрическую, а при  $\gamma = \pm \frac{\pi}{2}$  — в круглую плиту (рис. 1). В последнем случае система уравнений движения (1.4) распадается на две — первое уравнение описывает тангенциальную деформацию плиты, а система из двух оставшихся уравнений — изгибную и сдвиговую деформации.

Начальные условия при  $\tau = 0$

$$u = \psi = w = \partial_\tau u = \partial_\tau \psi = \partial_\tau w = 0. \quad (1.7)$$

Краевые условия при  $\alpha_1 = 0$  ( $\alpha_1 = a - a_0$ )

$$\partial_\tau u = H(\tau) \quad \psi = w = 0. \quad (1.8)$$

В той части оболочки, которой еще не достигли волны деформации, сохраняется покой

$$u(\alpha_1, \tau) = \psi(\alpha_1, \tau) = w(\alpha_1, \tau) = 0 \quad (1.9)$$

$$\alpha_1 > \tau.$$

Рассматривается начальный этап движения. Отражение волн не исследуется.

Используя результаты исследования разрывов на фронтах волн [1] и применяя модифицированный метод сеток [2], основная идея которого состоит в предварительном выделении разрывных частей вычисляемых функций, по программам, составленным в автокоде «Инженер» [3], на ЭЦВМ «Минск-2» проводился численный расчет.

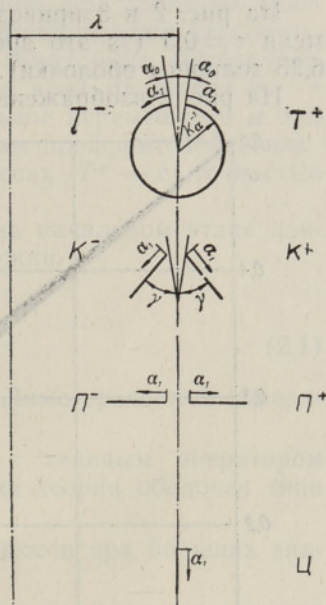


Рис. 1.

Были выбраны следующие параметры:

$$\nu = 0,3, \quad \kappa^2 = 0,301, \quad h\kappa_\alpha = 0,04, \quad \lambda = 5,0, \quad \gamma = \pm \frac{\pi}{4}, \quad 0, \quad \pm \frac{\pi}{2}. \quad (1.10)$$

Шаги сетки по координате и времени приняты равными

$$l_\alpha = 0,004, \quad l_\tau = \frac{1}{2} l_\alpha. \quad (1.11)$$

Принятое соотношение между шагами расчетной сетки обеспечивает устойчивость метода сеток.

На толщине оболочки умещается 20 шагов.

Параметр  $\alpha_0$  при тороидальной оболочке принят равным полутолщине оболочки

$$|\alpha_0| = 0,04. \quad (1.12)$$

При других объектах параметры  $\alpha_0$  подобраны таким образом, что края оболочек находятся на одинаковом расстоянии от оси вращения.

**2. Численные результаты.** Для краткости письма обозначим переходной процесс деформации оболочки символом по первой букве геометрической поверхности оболочки; при удалении выходящих волн, вызванных начальным возмущением, от оси вращения присвоим символу процесса верхний индекс «плюс», в противном случае — «минус».

На рис. 2 и 3 приводятся диаграммы, относящиеся к моменту времени  $\tau = 0,5$  (за это время первый фронт прошел расстояние, равное 6,25 толщины оболочки).

На рис. 2 изображены графики тангенциального перемещения  $u$  при

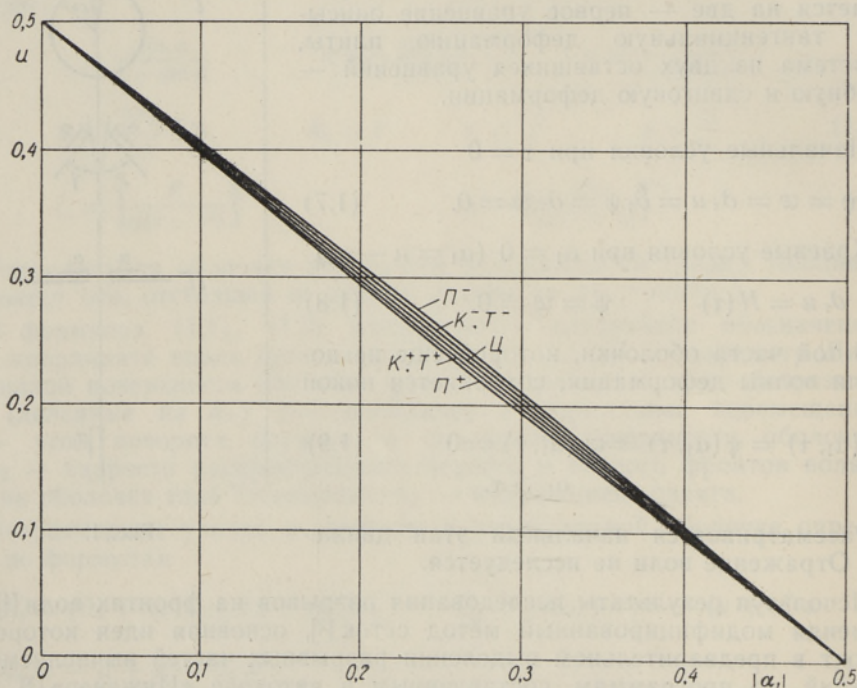


Рис. 2.

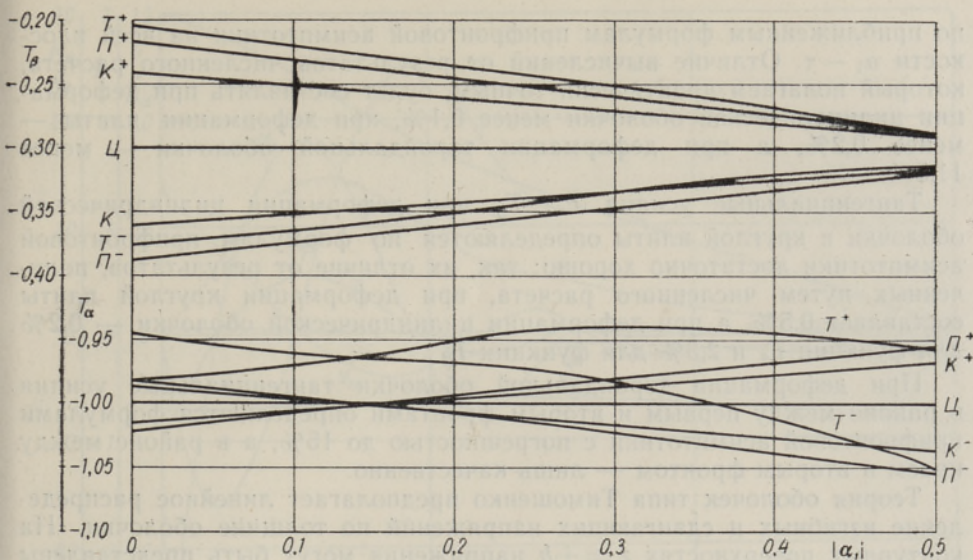


Рис. 3.

процессах  $T^\pm$ ,  $K^\pm$ ,  $P^\pm$ ,  $C$ , а на рис. 3 — графики тангенциальных усилий  $T_\alpha$  и  $T_\beta$ .

Как показывают результаты численного расчета, при принятых крайних условиях в начале движения ( $\tau = 0,5$ ) тангенциальные перемещения и усилия являются доминирующими. Они могут быть определены по формулам прифронтной асимптотики [1] на всей плоскости  $\alpha_1 - \tau$  с высокой степенью точности. Так, тангенциальное перемещение  $u$  при процессах  $K^\pm$ ,  $P^\pm$ ,  $C$  определяется по формулам прифронтной асимптотики с точностью до 0,1%, а при процессах  $T^\pm$  — с точностью до 2%.

При тангенциальном краевом воздействии на начальном этапе движения оболочки ведут себя как трубчатые стержни.

Уравнение движения стержня имеет вид

$$(\partial_\alpha^2 + B^{-1} \partial_\alpha B \partial_\alpha - \partial_z^2) u = 0. \quad (2.1)$$

Здесь  $B(\alpha)$  — радиус стержня (коэффициент Ляме срединной поверхности оболочки).

Левая часть уравнения (2.1) совпадает с главным оператором в системе уравнений прифронтной асимптотики теории оболочек типа Тимошенко.

Перейдем к рассмотрению переходных процессов при больших значениях времени.

Ниже приводятся диаграммы, относящиеся к моменту времени  $\tau = 1,5$  (за это время первый фронт прошел расстояние, равное 18,75 толщине оболочки).

На рис. 4 изображены графики, характеризующие переходные процессы деформации  $C$  и  $P^\pm$ . Графики процесса  $C$  изображены сплошной линией, процесса  $P^+$  — пунктирной, а процесса  $P^-$  — штрих-пунктирной линией.

На рис. 5 приводятся диаграммы, характеризующие процесс  $T^+$ .

Как и ранее, тангенциальные перемещения  $u$  могут быть определены

по приближенным формулам прифронтальной асимптотики на всей плоскости  $\alpha_1 - \tau$ . Отличие вычислений от результатов численного расчета, который полагаем практически точным, будет составлять при деформации цилиндрической оболочки менее 0,1%, при деформации плиты — менее 0,2%, а при деформации тороидальной оболочки — менее 11,5%.

Тангенциальные усилия  $T_\alpha$ ,  $T_\beta$  при деформации цилиндрической оболочки и круглой плиты определяются по формулам прифронтальной асимптотики достаточно хорошо; так, их отличие от результатов, полученных путем численного расчета, при деформации круглой плиты составляет 0,5%, а при деформации цилиндрической оболочки — 0,2% для функции  $T_\alpha$  и 2,5% для функции  $T_\beta$ .

При деформации тороидальной оболочки тангенциальные усилия в районе между первым и вторым фронтами определяются формулами прифронтальной асимптотики с погрешностью до 15%, а в районе между краем и вторым фронтом — лишь качественно.

Теория оболочек типа Тимошенко предполагает линейное распределение изгибающих и сдвигающих напряжений по толщине оболочки. На контурных поверхностях  $z = \pm h$  напряжения могут быть представлены в виде

$$\sigma_j = E_p (T_j + h k_\alpha M_j) \quad (j = \alpha, \beta; E_p = E/(1 - \nu^2)) \quad \tau_{z\alpha} = E_p \kappa^2 N_\alpha. \quad (2.2)$$

Вклад изгибающих моментов в напряжения при деформации цилиндрической оболочки не превышает 11%.

При деформации тороидальной оболочки он не превышает 11% в районе между первым и вторым фронтами; этот вклад растет с приближением к краю и на краю превышает вклад тангенциальных усилий

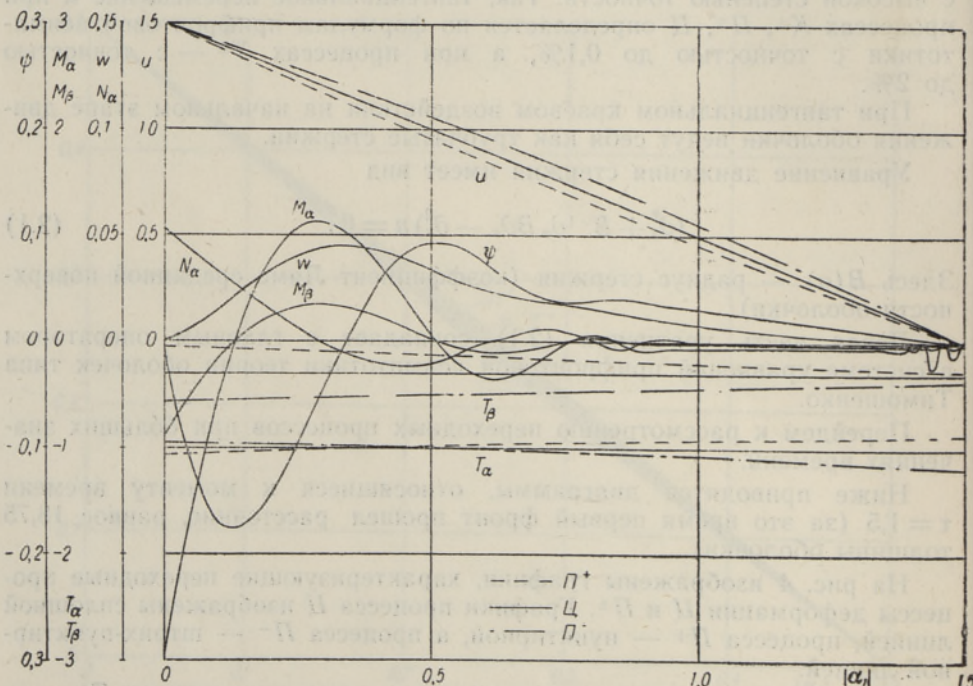


Рис. 4.

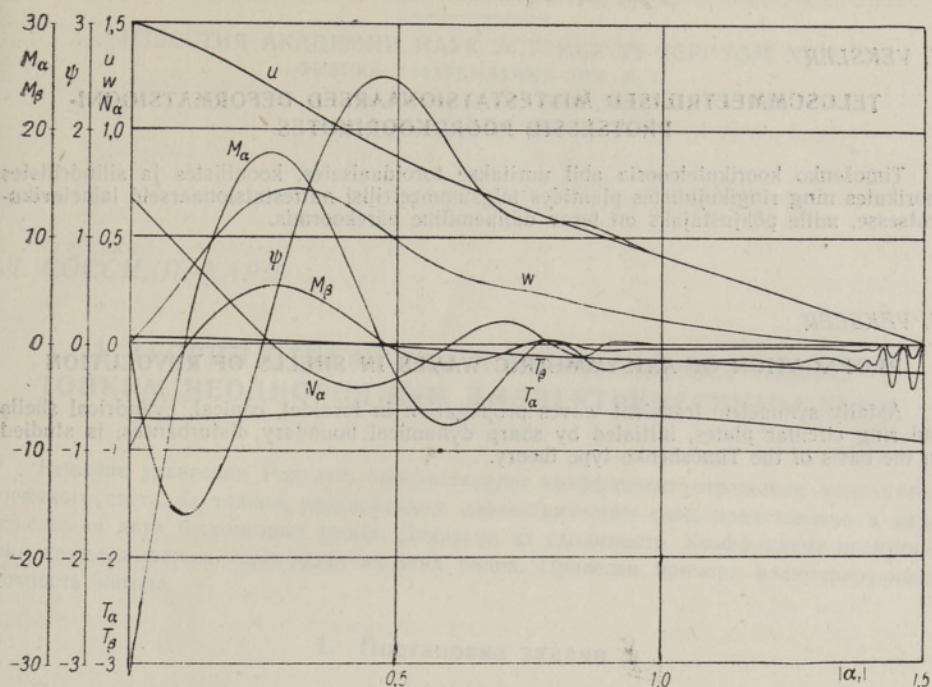


Рис. 5.

в тангенциальные напряжения. Кривизна срединной поверхности оболочки вызывает появление сильного краевого эффекта даже при тангенциальных краевых условиях.

**3. Некоторые обобщения.** Проведенные численные расчеты нестационарных процессов деформации оболочек вращения, вызванных краевыми воздействиями, убеждают в том, что на начальном этапе движения ( $\tau = 0,5$ ) доминирующие факторы переходного процесса — перемещения, усилия и моменты (тангенциальные при тангенциальных краевых воздействиях и нетангенциальные при изгибных и сдвиговых краевых воздействиях) — для оболочек вращения различных геометрических форм близки между собой и их различия определяются, в основном, различием в жесткости оболочки (радиусе  $B(\alpha)$  трубчатого стержня). Секундарные факторы для оболочек вращения различных геометрических форм значительно разнятся.

Кривизны срединной поверхности оболочки (вдоль параллели, меридиана, а также гауссова) почти не влияют на характер нестационарного процесса деформации.

#### ЛИТЕРАТУРА

1. Векслер Н. Д., Исследование фронтовых разрывов при осесимметричной деформации оболочек вращения и круглой плиты, Сб. Переходные процессы деформации оболочек и пластин. Таллин, 1967.
2. Векслер Н. Д., Мянниль А. И., Нигул У. К., Прикл. мех., 1, № 12 (1965).
3. Неменман М. Е., Цегельский В. И., Матюшевская И. И., Автокод для решения инженерных задач на машине «Минск-2». Минск, 1965.

N. VEKSLER

**TELGSÜMMEETRILISED MITTESTATSIONAARSED DEFORMATSIOONI-  
PROTSESSID PÕÖRDKOORIKUTES**

Timošenko koorikuteteooria abil uuritakse toroidaalsetes, koonilistes ja silindrilistes koorikutes ning ringikujulistes plaatides telgsümmeetrilisi mittestatsionaarseid laineleviku-protseesse, mille põhjustajaks on terav dünaamiline äärekoormis.

N. VEKSLER

**PROPAGATION OF AXISYMMETRIC WAVES IN SHELLS OF REVOLUTION**

Axially symmetric transient waves propagation in toroidal, conical, cylindrical shells and ring circular plates, initiated by sharp dynamical boundary disturbances, is studied on the basis of the Timoshenko type theory.